

## استفاده از روشهای تشخیص سریع سرولوژیکی و مولکولی در تفکیک ویروسهای عامل کوتولگی زرد جو \*

Use of rapid serological and molecular methods in differentiating barley yellow dwarf viruses

مینا راستگو، بهنام خطابی و کرامت‌اله ایزدپناه\*\*  
بخش گیاهپزشکی، دانشکده کشاورزی، دانشگاه شیراز

پذیرش ۸۳/۱۱/۱۴

دریافت ۸۳/۳/۱۰

### چکیده

تشخیص سریع و دقیق ویروسهای کوتولگی زرد جو (BYDVs) و کوتولگی زرد غلات (CYDV) به منظور مدیریت بیماری حائز اهمیت می‌باشد. در این تحقیق روش‌های سرولوژیکی و مولکولی برای تشخیص سریع این گروه از ویروسها مورد بررسی قرار گرفتند. در بین روشهای سرولوژیکی Cocktail-ELISA, Indirect-ELISA, DAS-ELISA و TPIA که در این تحقیق مورد استفاده قرار گرفتند، روش TPIA بدلیل صرفه‌جوئی در امکانات، قابلیت استفاده در سطح مزرعه به طور وسیع و روش Cocktail-ELISA بدلیل صرفه‌جوئی در وقت کارایی بالایی داشتند و به خوبی قادر به تفکیک و تمایز سروتیپ‌ها بودند. در تشخیص مولکولی از آغازگرهای عمومی تیره لوتنوویریده استفاده شد که با آموده خالص PAV و RPV به ترتیب قطعاتی به اندازه ۱۲۰۰ و ۴۰۰ جفت باز تکثیر کردند. بعلاوه سروتیپ‌های PAV و RPV به صورت کاملا اختصاصی با آغازگرهای اختصاصی خود واکنش نشان دادند و به

---

\* تحقیقات مربوط به این مقاله بکمک اعتبارات قطب علمی ویروس‌شناسی انجام گرفته است.

\*\* مسئول مکاتبه

ترتیب قطعاتی به اندازه ۷۰۰ و ۸۰۰ جفت باز از آنها تکثیر شد. تحت شرایط این آزمایش‌ها، روش معمول RT-PCR، برای تشخیص این سروتیپ‌ها در عصاره خام گیاه کارایی نداشت اما در صورت به دام اندازی این ویروسها با پادتن اختصاصی (IC-RT-PCR) قطعه‌های مورد انتظار تکثیر یافتند.

واژه‌های کلیدی: CYDV-RPV, BYDV-PAV، روشهای تشخیص سریع سرولوژیکی و

مولکولی، RT-PCR، IC-RT-PCR، Cocktail-ELISA

### مقدمه

شبهات علائم لوتئوویروسهای غلات با علائم ناشی از سایر عوامل زنده و غیرزنده، محدود بودن این ویروسها به بافت آبکشی و غلظت بسیار پائین ویروس در گیاه، تشخیص آنها را اغلب با اشکال روبرو می‌کند. روش‌های مبتنی برویژگیهای بیولوژیکی ویروس از جمله اختصاصیت انتقال با شته، اولین روش‌هایی هستند که در تشخیص و تفکیک لوتئوویروسها به کار رفته اند. این روشها با توجه به اینکه ردیابی و تشخیص ویروس در آنها براساس بروز علائم استوار است، چندان قابل اعتماد نمی‌باشند (D'Arcy 1999). روش‌های معمول سرولوژیکی از قبیل نشت در آگار، رسوب در قطرات ریزو تلفیق سرولوژی و الکترون میکروسکوپی، به علت غلظت بسیار کم این ویروسها در گیاه فاقد کارایی برای تشخیص و تفکیک آنها می‌باشند. با ورود روش ایمنی-سنجی آنزیمی (enzyme-linked immunosorbent assay, ELISA) (الیزا) که سرعت و حساسیتی بمراتب بیشتر از روش‌های سرولوژیکی صرف دارند در صحنه مطالعات ویروس‌شناسی (Clark and Adams 1977)، تحولی در ردیابی و تشخیص لوتئوویروسها بوجود آمد. با وجود این برای افزایش سرعت و حساسیت روش، کاهش مقدار مواد مورد استفاده و مناسب کردن روش برای موارد خاص، تمهیدات بسیار متنوعی در روش اولیه الیزا به عمل آمده است (Henry and Francki 1992، Torrance 1987، Huth 1999، D'Arcy et al. 1992). روش ایمنی-سنجی اثر بافت (tissue print immunoassay, TPIA) که در آن برای تهیه نمونه کافی است

مقطعی از بافت به منظور گذاردن اثر، روی غشاء نیتروسولولز یا نایلون فشار داده شود، از نظر سهولت کار و صرفه جویی در مواد دارای مزیت قابل توجهی است (Huth 1999). از سوی دیگر تحول بزرگی که با ابداع روش واکنش زنجیره‌ای پلی‌مراس (پی‌سی‌آر) (polymerase chain reaction, PCR) بوجود آمد، تشخیص و ردیابی لوتوویروسها را نیز در بر گرفت (Robertson *et al.* 1991) بطوری که امروزه این روش به تنهایی یا در ترکیب با سایر روش‌ها از جمله ایمنی‌سنجی (Immunocapture RT-PCR, IC-RT-PCR) اغلب بصورت روزمره درآمده است.

در ایران روش‌های معمول الیزا به دلایل ذکر شده در بالا برای شناسایی و تفکیک ویروسهای مولد کوتولگی زرد در غلات در موارد زیادی ناموفق بوده است (مطالعات منتشر نشده). هدف از تحقیق حاضر بررسی کاربرد RT-PCR، TPIA، IC-RT-PCR و Cocktail ELISA در ردیابی و شناسایی ویروس‌های مولد کوتولگی زرد در غلات در شرایط ایران است.

### روش بررسی

#### منبع ویروسها و آنتی سرمها

از بوته‌های گندم آلوده به سروتیپ PAV ویروس کوتولگی زرد جو (BYDV-PAV) و یا سروتیپ RPV ویروس کوتولگی زرد غلات (CYDV-RPV) که قبلاً وجود آنها بروش ELISA و TPIA ثابت شده بود در آزمایشهای مقایسه‌ای استفاده شد. همچنین برخی از آزمایشها با استفاده از بوته‌های گندم یا جو مبتلا به زردی که مستقیماً از مزارع فارس (ایچ استهبان) جمع‌آوری شده بود، انجام گرفت. آنتی سرمهای مورد استفاده در این تحقیق شامل آنتی سرمهای PAV، MAV و RPV تهیه شده از شرکت Bioreba (سوئیس) و آنتی سرمهای ویژه PAV و RPV تهیه شده در محل (منتشر نشده) بود. ایمونوگلوبولین‌ها طبق روش کلارک و آدامز (Clarok and Adams 1977) خالص‌سازی و در غلظت ۱ mg/ml آماده شدند.

#### آزمون Direct-ELISA

بافت گیاهان به نسبت ۱ به ۵ (وزن به حجم) در بافر نمونه (۰/۲ گرم KCl، ۰/۲ گرم  $\text{NaN}_3$ ، ۱/۴۴ گرم  $\text{Na}_2\text{HPO}_4$ ، ۰/۲ گرم  $\text{NaH}_2\text{PO}_4$ ، ۸ گرم NaCl، ۰/۵ درصد Tween-20 و ۲

درصد PVP در یک لیتر آب مقطر،  $\text{pH} = 7/4$  عصاره‌گیری و سپس با کلروفورم به میزان ۳۰ درصد حجم عصاره تیمار شده و در چاهک‌های میکروپلیت ریخته شدند. پادتن و پادتن متصل به آنزیم (آلکالین فسفاتاز) ویژه سروتیپ‌های PAV و RPV به نسبت ۱:۱۰۰۰ در بافر نمونه مورد استفاده قرار گرفتند. بقیه مراحل مطابق روش کلارک و آدامز (Clark and Adams 1977) انجام شد.

### آزمون Indirect-ELISA

بافت گیاهان با بافر ۰/۱ مولار سیترات آمونیوم،  $\text{pH} = 6/5$ ، عصاره‌گیری و عصاره مانند روش الیزای مستقیم با کلروفورم تیمار شد. پادتن ویژه سروتیپ‌ها به نسبت ۱:۱۰۰۰ و پادتن ضد خرگوش به نسبت ۱:۲۵۰۰ در بافر نمونه مورد استفاده قرار گرفتند. بقیه مراحل مطابق روش کانورس و مارتین (Converse and Martin 1990) انجام گرفت.

### آزمون Cocktail-ELISA

این آزمون مانند الیزای مستقیم انجام گرفت با این تفاوت که بلافاصله بعد از اضافه کردن آنتی‌ژن، پادتن متصل به آنزیم به داخل چاهک اضافه و با نوک میکروپلیت به خوبی مخلوط شد. بقیه مراحل مطابق روش دیکستر و دی‌اگر (Dijkstra and deJager 1998) انجام شد.

### آزمون Tissue Print Immunoassay (TPIA)

این آزمون با انجام تغییراتی در روش هوث (Huth, 1999) به صورت زیر انجام شد: بعد از خط‌کشی غشاء نیتروسولوزی به مربع‌های کوچک ۱ سانتیمتر مربعی، بافت آلوده و سالم با اسکالپل تمیز برش داده شد و سطح بریده به طور مختصر به غشاء فشار داده شد. بعد از تکان دادن غشاء به مدت ۴ ساعت در بافر بازداشتن (blocking buffer)، آنتی‌بادی متصل به آنزیم در بافر بازداشتن به نسبت ۱ به ۱۰۰۰ رقیق و به آن اضافه و به مدت یک شب در دمای  $4^{\circ}\text{C}$  بهم زده شد. سپس غشاء با بافر شستشو سه بار، هر بار به مدت ۲۰ دقیقه شستشو شد. رنگ‌آمیزی با حل کردن قرص آماده رنگ حاوی نیتروبلوتترازولیوم (nitro-blue tetrazolium, NBT) و ۵-برومو-۴-کلرو-۳-ایندولیل فسفات پارا-تولوئیدین (5-bromo-4-chloro-3-indolylphosphate p-) (toluidine salt, BCIP) در ۲/۵ میلی لیتر آب مقطر انجام شد. در مواردی که قرص آماده وجود نداشت ۰/۳۳ میلی‌گرم NBT و ۰/۱۷ میلی‌گرم BCIP به ازای هر میلی‌لیتر در آب مقطر حل و با

مخلوط کن کاملاً بهم زده شد (مخلول رنگ دقیقاً قبل از استفاده تهیه شد). در مواردی برای رنگ آمیزی، یک عدد قرص (Sigma) Fast Red در ۲ میلی لیتر مخلول تریس ۰/۲ مولار با پی اچ ۷/۸ حاوی ۲ mM کلرید منیزیم حل شد و بر روی غشاء قرار گرفت. پس از ظهور رنگ، غشاء در آب مقطر شستشو و برای بررسی دقیقتر از میکروسکوپ استریو استفاده شد.

### آزمون RT-PCR

جهت شناسایی ویروس‌ها از آغازگرهای اختصاصی BYDV-PAV و CYDV-RPV طراحی شده توسط Miller و همکاران (ترادف این آغازگرها توسط پروفیسور میلر از دانشگاه آیوا ارسال شد) و آغازگرهای عمومی طراحی شده برای تیره لوتنویریده توسط روبرتسون و همکاران (Robertson *et al.* 1991) استفاده گردید. ترادف آغازگرهای BYDV-PAV بترتیب 5'-GTT-2: PAV و آغازگرهای CYDV-RPV بترتیب 5'-CTTAGA TCC AAT GGC AAT-3: 5'-AATAGGTAGACTCCTCAACA-3: PAV-1<sup>1</sup> و 3'-CTGCTCAACATCGGAT-3: و 5'-CAG CTA TCTGAA ACCAGT AGA-3: RPV-1: GTC RPV-2: بود.

### استخراج آر. ان. ای ویروس

برای آزمون معمول RT-PCR، آر. ان. ای کل (total RNA) گیاه آلوده به ویروس و گیاه سالم طبق روش روبرتسون و همکاران (Robertson *et al.* 1991) به صورت زیر استخراج شد: ابتدا ۰/۵ گرم بافت تازه برگ با ازت مایع به صورت پودر درآورده و با ۴ میلی لیتر بافر گلیسین (M) ۰/۱ با پی اچ ۹/۵ حاوی ۰/۱ مولار NaCl) عصاره‌گیری گردید. در مرحله بعد هم حجم عصاره، فنول اشباع به آن اضافه و کاملاً مخلوط و در ۱۲۰۰۰ rpm به مدت ۱۰ دقیقه در دمای اتاق سانتریفوژ شد. به بخش بالائی یک حجم مخلوط فنول-کلروفرم اضافه، مخلوط و مانند قبل سانتریفوژ گردید. ۰/۱ حجم استات سدیم ۳ M و ۲/۵ حجم اتانول مطلق به مایع روئی اضافه و به مدت ۲ ساعت در دمای ۲۰ °C- نگهداری شد. پس از سانتریفوژ کردن در rpm ۱۲۰۰۰ به مدت ۲۵ دقیقه، رسوب حاصل با اتانول ۷۰٪ شستشو و پس از خشک شدن الکل در ۱۰۰ میکرولیتر آب تیمار شده با DEPC حل شد.

### Immunocapture RT-PCR

برای تهیه آر. ان. ای ویروس برای استفاده در Immunocapture RT-PCR (IC-RT-PCR) با انجام تغییراتی روش وزیرری و همکاران (Waziri *et al.* 2002) با استفاده از

پادتن‌های چند همسانه‌ای CYDV-RPV و BYDV-PAV به صورت زیر عمل شد: آنتی‌بادی‌های چند همسانه‌ای با رقت ۱ به ۱۰۰۰ در بافر پوششی به میزان ۱۰۰ میکرولیتر به داخل لوله اپن‌دورف ۰/۵ میلی‌لیتری اضافه و به مدت ۲ ساعت در  $37^{\circ}\text{C}$  قرار داده شدند. یکبار شستشو با بافر شستشو (PBS-T) و سه بار شستشو با PBS-T+۲٪ BSA انجام شد. بافت مورد نظر در بافر نمونه (۲٪ PBS-T+PVP) به نسبت ۱ به ۵ عصاره‌گیری و بعد از سانتریفوژ کردن به مدت ۵ دقیقه در  $10000\text{ rpm}$ ، مایع روئی به میزان ۱۰۰ به لوله‌ها اضافه و یک شب در دمای  $4^{\circ}\text{C}$  قرار گرفت. در آخر سه بار شستشو با بافر شستشو (PBS-T) و یک بار شستشو با آب تیمار شده با DEPC انجام شد.

### ستز cDNA از آر. ان. ای ویروس (مرحله RT)

برای ستز cDNA، مقدار ۲ میکرولیتر اسیدنوکلیک استخراج شده با ۲ میکرولیتر آغازگر معکوس ( $10\ \mu\text{M}$ ) و ۸/۵ میکرولیتر آب تیمار شده با DEPC مخلوط و در دمای  $95^{\circ}\text{C}$  به مدت ۵ دقیقه حرارت داده شد. مخلوط به مدت ۱۰ دقیقه در  $40^{\circ}\text{C}$  قرار گرفت و بعد از قرار دادن روی یخ به  $67/5$  میکرولیتر آن آمیزه RT شامل  $2/5$  میکرولیتر مخلوط dNTPs ( $10\ \text{mM}$ )، ۵ میکرولیتر بافر  $5 \times \text{RT}$ ، ۰/۵ میکرولیتر آنزیم MMLV ( $25\ \text{u}/\mu\text{l}$ )، ۰/۵ میکرولیتر RNase inhibitor ( $50\ \text{u}/\mu\text{l}$ ) و  $10/25$  میکرولیتر آب تیمار شده با DEPC اضافه و به مدت ۶۰ دقیقه در دمای  $42^{\circ}\text{C}$  قرار داده شد (Waziri *et al.* 2002).

### استفاده از کیت بهینه سازی PCR (PCR Optimization Kit)

برای اطمینان از درست بودن ترادف طراحی شده از PCR Optimization Kit (Roche) استفاده شد. نیم میکرولیتر بافرهای ۱ تا ۱۶ همراه با مواد واکنش PCR طبق دستورالعمل سازنده برای تکثیر بکار برده شد. شرایط تکثیر و مقدار مواد تشکیل دهنده آمیزه PCR برای واکنش ۲۵ میکرولیتری به شرح زیر بود:  $0/75$  میکرولیتر از هر یک از آغازگرهای اختصاصی سروتیپ‌ها و یا آغازگرهای عمومی تیره Luteoviridae ( $10\ \mu\text{M}$ )،  $2/5$  میکرولیتر از بافر PCR  $\times 10$ ،  $0/75$  میکرولیتر کلرید منیزیم  $0/05$  مولار،  $0/5$  میکرولیتر مخلوط dNTPs ( $10\ \text{mM}$ )،  $0/25$  میکرولیتر محلول پلیمرز تک (Taq DNA polymerase) با غلظت ۵ واحد در میکرولیتر،  $16/5$  میکرولیتر آب تیمار شده با DEPC و ۳ میکرولیتر دی.ان.ای قالب (الگو).

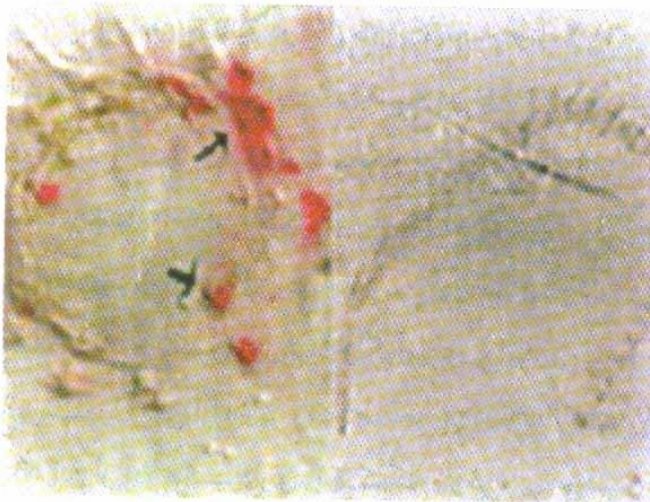
برنامه دمائی دستگاه PCR با استفاده از آغازگرهای اختصاصی شامل ۳ دقیقه در دمای ۹۴ °C، سپس ۳۵ سیکل با برنامه ۶۰ ثانیه در ۹۴ °C، ۶۰ ثانیه در ۶۲ °C و ۹۰ ثانیه در ۷۲ °C و یک سیکل انتهائی به مدت ۱۰ دقیقه در ۷۲ °C و نگهداری در دمای ۸ °C در نظر گرفته شد. واکنش PCR در دستگاه Thermocycler 53330 ساخت شرکت اپندورف انجام شد. بعد از اتمام PCR، ۸ میکرولیتر از هر نمونه همراه با ۳ میکرولیتر بافر رنگ (loading buffer) (۱۰ میلی مولار "کرزول رد" حاوی ۱۰ درصد سوکروز) در ژل آگاروز ۱٪ در ۱۰۰ ولت به مدت ۱ ساعت الکتروفورز شد. رنگ آمیزی با اتیدیوم بروماید و رنگبری با آب مقطر صورت پذیرفت. ژل پس از آن بر روی صفحه UV transilluminator بررسی شد و با دستگاه gel documentation از آن عکسبرداری و با کمک مارکهای مخصوص وزن مولکولی قطعه تکثیر شده تخمین زده شد.

### نتیجه

#### آزمونهای سرولوزیکی

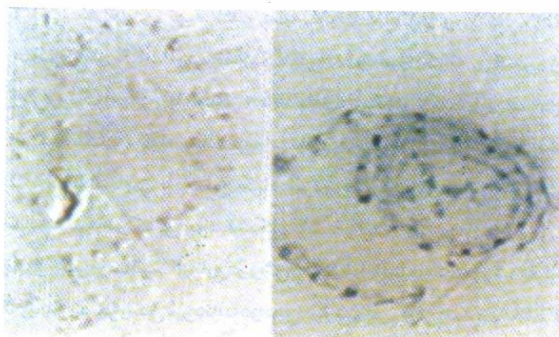
در آزمون TPIA آنتی سرمهای تهیه شده علیه BYDV-PAV و CYDV-RPV تا رقت ۱ به ۱۵۰۰ بخوبی گیاه سالم را از گیاه آلوده تفکیک کردند و هیچ گونه واکنش زمینه‌ای با گیاه سالم مشاهده نشد. در روش رنگ آمیزی با Fast Red، بافت آبکشی گیاه آلوده به صورت نقاط قرمز رنگ در مقایسه با آوند آبکشی گیاه سالم به آسانی قابل مشاهده بود (شکل ۱). در روش استفاده از رنگ NBT-BCIP، بافت آبکشی گیاه آلوده به رنگ ارغوانی درآمد و در این مورد نیز بافت آبکشی گیاه سالم بدون واکنش بود (شکل ۲).

روشهای مستقیم و غیر مستقیم الیزا و روش cocktail-ELISA هر سه قادر به شناسائی و تفکیک سروتیپ های مورد بررسی بودند. در بین روشهای ذکر شده cocktail-ELISA نسبت به بقیه روشها بهتر بود. در این آزمون با توجه به اینکه نمونه گیاهی و پادتن متصل به آنزیم با هم اضافه شدند، یک مرحله از آزمون حذف و در مدت زمان انجام آن صرفه جوئی شد.



شکل ۱- نتایج مربوط به TPIA، رنگ آمیزی با Fast Red: سمت راست گیاه سالم و سمت چپ گیاه آلوده به BYDV-PAV، پیکانها محل آوند آبکشی رنگ گرفته در نمونه های آلوده را نشان میدهند.

Fig. 1. Results of TPIA, staining with Fast Red; Right healthy plant; Left: BYDV-PAV infected plant. Arrows show stained phloem tissue in infected samples.



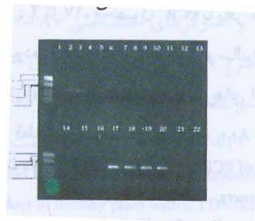
شکل ۲- نتایج مربوط به TPIA، رنگ آمیزی با NBT-BCIP: سمت چپ گیاه سالم و سمت راست گیاه آلوده به CYDV-RPV.

Fig. 2. Results of TPIA, staining with NBT-BCIP. Left, healthy plant. Right CYDV-RPV infected plant.



### آزمون RT-PCR

آغازگرهای اختصاصی طراحی شده برای BYDV-PAV و CYDV-RPV قادر به شناسایی این ویروسها در آماده خالص‌ازی شده و عصاره گیاه آلوده بودند و کاملاً اختصاصی عمل کردند. از ۱۶ بافر مورد استفاده در کیت بهینه‌سازی، ۸ بافر برای تکثیر BYDV-PAV و دو بافر برای تکثیر CYDV-RPV نتیجه بخش بودند (شکل‌های ۳ و ۴). استفاده از آغازگرهای اختصاصی BYDV-PAV باعث تکثیر قطعه‌ای از نوکلئیک اسید به اندازه ۷۰۰ جفت باز شد (شکل‌های ۳ و ۵). آغازگرهای عمومی تیره لوتثوویریده از این ویروس قطعه‌ای به اندازه ۱۲۰۰ جفت باز تکثیر کردند (شکل ۸). در مورد CYDV-RPV با استفاده از آغازگرهای اختصاصی قطعه‌ای به اندازه ۸۰۰ جفت باز تکثیر شد (شکل ۷). IC-RT-PCR روی عصاره خام گیاه آلوده نیز همین نتایج را داد در حالی که این آغازگرها قادر به تشخیص ویروس در عصاره خام گیاه آلوده در روش معمول RT-PCR نبودند (شکل ۶).

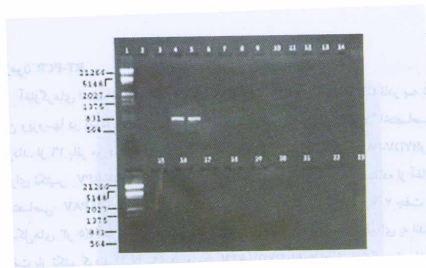


شکل ۳- نتایج استفاده از کیت بهینه‌سازی PCR (PCR Optimization Kit) (با ۱۶ بافر مختلف) برای بهینه کردن آزمون PCR با آغازگرهای اختصاصی BYDV-PAV در ژل آگاروز ۱٪: سمت چپ: مارکر DNA.

چاهک‌ها برترتیب ۱ تا ۷. BYDV-PAV خالص‌سازی شده و ۸ تا ۱۳، کنترل گیاه سالم با استفاده از بافرهای شماره ۱ تا ۷ کیت؛ ۱۴ تا ۲۲، BYDV-PAV خالص‌سازی شده و بافرهای ۸ تا ۱۶ کیت؛ قطعه‌ای به اندازه ۷۰۰ جفت باز با بافرهای شماره ۲، ۳، ۸، ۱۲، ۱۳، ۱۴، ۱۵، ۱۶ تکثیر شده است.

Fig. 3. Gel electrophoresis pattern of PCR Optimization kit (with 16 different buffers) and BYDV-PAV specific primers:

Lanes: 1-7, purified BYDV-PAV and 8-13 healthy control preparation with kit buffers 1-7; 14-22, purified BYDV-PAV with kit buffers 8-16. Note amplification of a 700bp segment with buffers 2, 3, 8, 12, 13, 14, 15 and 16. Left lanes: DNA marker.



شکل ۴- نتایج استفاده از کیت بهینه‌سازی PCR (PCR Optimization kit) (با ۱۶ بافر مختلف) با استفاده از آغازگرهای اختصاصی CYDV-RPV و ویروس خالص‌سازی شده CYDV-RPV در ژل آگاروز ۱٪:

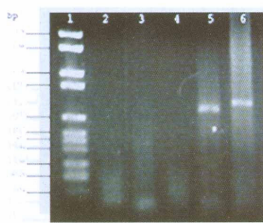
چاهک‌ها بترتیب: ۱، مارکر: ۲ تا ۱۷، محصول PCR با بافر های ۱ تا ۱۶ کیت؛ ۱۸ تا ۲۲، محصول PCR بر روی آماده خالص‌سازی شده گیاه سالم؛ ۲۳، محصول PCR با ویروس خالص‌سازی شده BYDV-MAV با استفاده از آغازگرهای اختصاصی CYDV-RPV. تنها با استفاده از بافرهای ۳ و ۴ قطعه‌ای اختصاصی با اندازه ۸۰۰ جفت باز تکثیر شده است.

Fig. 4. Gel electrophoresis pattern of PCR product using PCR Optimization kit (with 16 different buffers) and CYDV-RPV specific primers.

Lanes: 1, marker; 2-17, PCR product of purified virus and buffers 1-16 of the kit; 18-22, PCR product of purified preparation of healthy plant material; 23, PCR product of purified BYDV-MAV with CYDV-RPV specific primers. Only buffers 3 and 4 resulted in amplification of a specific 800bp segment.

## بحث

جداسازی لوتتوویروسهای غلات بخاطر شباهتهای سرولوژیکی نزدیکشان یا یکدیگر دشوار می‌باشد. آنتی سرم های چند همسانه ای تهیه شده علیه یک لوتتوویروس ممکن است با سایر اعضاء گروه نیز واکنش نشان دهند. این واکنش در مورد سروتیپ‌های BYDV-PAV و BYDV-MAV که از لحاظ پروتئین پوششی ۷۳ درصد همولوژی دارند، بیشتر صادق است (Lister *et al.* 1985; Henry and Francki 1992). تهیه پادتن‌های یک همسانه‌ای و استفاده از TAS-ELISA و اخیراً "تشخیص با PCR تا حدود زیادی تفکیک ویروس‌های کوتولگی زرد جو و غلات را مقدور کرده است (Miller *et al.* 2002 a, b, D'Arcy *et al.* 1999). در تحقیق

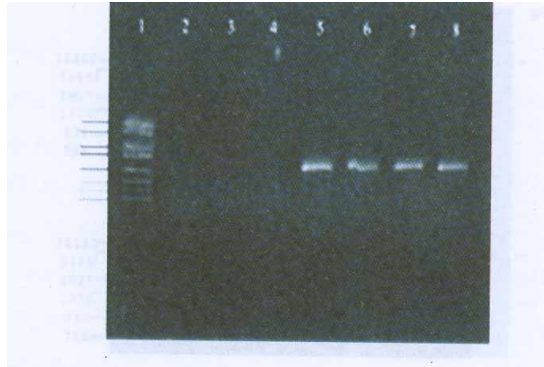


شکل ۵- تأیید هویت CYDV-RPV و BYDV-PAV با روش IC-RT-PCR در ژل آگاروز ۱٪  
 چاهک‌ها بترتیب: ۱، مارکر؛ ۲، محصول PCR گیاه سالم با آنتی‌سرم CYDV-RPV و  
 آغازگرهای اختصاصی CYDV-RPV؛ ۳، محصول PCR گیاه آلوده به BYDV-PAV با  
 آنتی‌سرم BYDV-PAV و آغازگرهای اختصاصی BYDV-PAV؛ ۵، محصول PCR گیاه آلوده  
 به BYDV-PAV با آنتی‌سرم BYDV-PAV و آغازگرهای اختصاصی BYDV-PAV (حدود ۷۰۰  
 جفت باز)؛ ۶، محصول PCR از گیاه آلوده به CYDV-RPV با آنتی‌سرم CYDV-RPV و  
 آغازگرهای اختصاصی CYDV-RPV (حدود ۸۰۰ جفت باز) .

Fig. 5. Confirmation of CYDV-RPV and BYDV-PAV identity by immunocapture RT-PCR.

Lanes: 1, Marker; 2, PCR product of healthy plant with CYDV-RPV antiserum and CYDV-RPV specific primers; 3, PCR product of BYDV-PAV infected plant with BYDV-PAV antiserum and CYDV-RPV specific primers; 4, PCR product of CYDV-RPV infected plant with CYDV-RPV antiserum and BYDV-PAV specific primers (a 700bp segment amplified); 5, PCR product of BYDV-PAV infected plant with BYDV-PAV antiserum and BYDV-PAV specific primers (a 700bp segment amplified); 6, PCR product of CYDV-RPV infected plant with CYDV-RPV antiserum and CYDV-RPV specific primers (an 800bp segment amplified).

حاضر، TPIA در رفتهای پایین آنتی سرم ویژه BYDV-PAV و CYDV-RPV بخوبی قادر به شناسایی گیاهان آلوده بود و هیچ گونه واکنشی با گیاه سالم نشان نداد. برای اطمینان از تشخیص صحیح TPIA، گیاهانی که در واکنش مثبت نشان داده بودند با IC-RT-PCR بررسی شدند. این دو روش تشخیصی نتایج یکدیگر را تایید کردند. در بررسی متقابل واکنش گیاه آلوده به سروتیپ BYDV-PAV با آنتی سرم ویژه CYDV-RPV و یا گیاه آلوده به سروتیپ CYDV-RPV با آنتی سرم ویژه BYDV-PAV واکنشی مشاهده نگردید. استفاده از



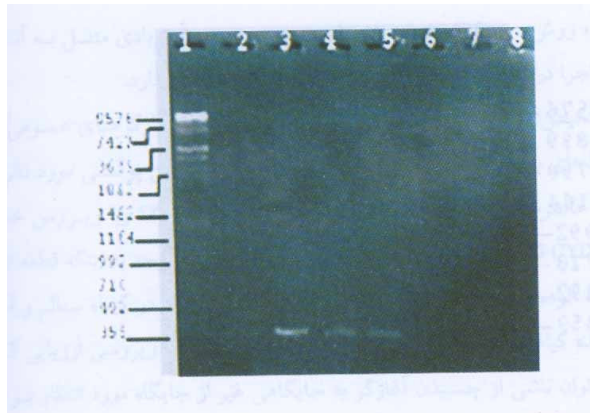
شکل ۶- مقایسه روشهای مختلف PCR با استفاده از آغازگرهای اختصاصی BYDV-PAV روی ژل آگاروز ۱٪

چاهک‌ها بترتیب ۱، مارکر؛ ۲، محصول IC-RT-PCR گیاه سالم با آنتی‌سرم BYDV-PAV؛ ۳، محصول RT-PCR با آماده خالص‌سازی شده گیاه سالم ۴، محصول PCR عصاره گیاه سالم با آنتی‌سرم BYDV-PAV به روش one tube IC-RT-PCR؛ ۵، محصول RT-PCR آر. ان. ای کل گیاه آلوده به BYDV-PAV؛ ۶، محصول PCR ویروس خالص شده BYDV-PAV با آنتی‌سرم BYDV-PAV به روش one tube IC-RT-PCR؛ ۷، محصول IC-RT-PCR گیاه آلوده به BYDV-PAV با آنتی‌سرم BYDV-PAV؛ ۸، محصول RT-PCR ویروس خالص شده BYDV-PAV

Fig. 6. Comparison of different PCR methods using BYDV-PAV specific primers.

Lanes: 1, marker; 2, IC-RT-PCR product of healthy plant sap with BYDV-PAV antiserum; 3, RT-PCR result with purified preparation of healthy plant ; 4, RT-PCR with healthy plant sap and BYDV-PAV antiserum; 5, RT-PCR product using total RNA from infected plant; 6, PCR product with purified virus and BYDV-PAV antiserum in one tube IC-RT-PCR 7, IC-RT-PCR product of BYDV-PAV infected plant with BYDV-PAV antiserum; 8, RT-PCR product of purified BYDV-PAV.

الکل پلی وینیل ( polyvinyl alcohol) در بافر بازداشتن ( blocking buffer ) زمان اجرای TPIA را به کمتر از یک ساعت کاهش داد و هیچگونه تفاوتی در نتایج مشاهده نگردید. هوت این روش را بصورت گسترده و با کارایی بالایی برای بسیاری از ویروسهای آوندی و غیر آوندی غلات بکار برده است (Huth 1999). استفاده از TPIA بعنوان روشی کارآمد، ارزان و حساس برای تشخیص و ردیابی حائز اهمیت می باشد. عدم نیاز به استخراج عصاره گیاه و قابلیت بالای اجرا در مزرعه، امکان نگهداری طولانی مدت کاغذ نیتروسولوز و یا نایلون تا چندین ماه پس از نقطه‌گذاری در دمای ۴ درجه سانتی‌گراد، قابلیت لکه‌گذاری نمونه‌های خشک پس از ۱



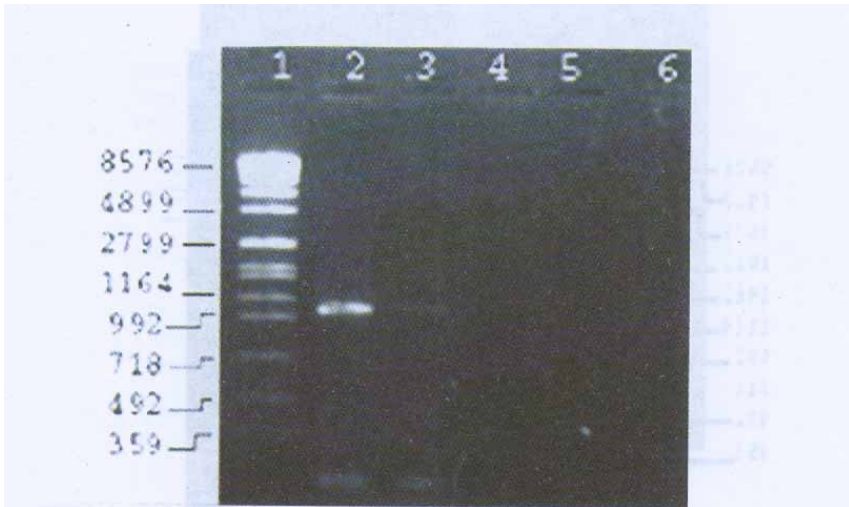
شکل ۷- مقایسه کارایی روشهای one-tube IC-RT-PCR، RT-PCR و IC-RT-PCR با استفاده از آغازگرهای دژنره تیره Luteoviridae برای CYDV-RPV روی ژل آگاروز ۱٪:

چاهک‌ها بترتیب: ۱، ماکر؛ ۲، محصول PCR با آماده خالص سازی شده CYDV-RPV و آنتی سرم CYDV-RPV به روش one tube IC-RT-PCR؛ ۳، محصول IC-RT-PCR گیاه آلوده به CYDV-RPV با آنتی سرم CYDV-RPV (قطعه ای به اندازه ۴۰۰ جفت باز تکثیر شد)؛ ۴، محصول IC-RT-PCR. آن. ای کل گیاه آلوده به CYDV-RPV با آنتی سرم CYDV-RPV؛ ۵، محصول RT-PCR با آماده خالص شده CYDV-RPV؛ ۶، محصول RT-PCR با آماده خالص سازی شده گیاه سالم؛ ۷، محصول PCR گیاه سالم با آنتی سرم CYDV-RPV به روش one tube IC-RT-PCR؛ ۸، محصول IC-RT-PCR عصاره گیاه سالم با آنتی سرم CYDV-RPV.

Fig: 7. Comparison of one-tube RT-PCR, RT-PCR and IC-RT-PCR efficiency with degenerate primers of the family Luteoviridae in 1% agarose gel.

Lanes: 1, marker; 2, PCR product pf purified CYDV-RPV with CYDV-RPV antiserum using one tube IC-RT-PCR method (arrow shows, position of a weak 400 bp band); 3, IC-RT-PCR product of CYDV-RPV infected plant sap with CYDV-RPV antiserum; 4, IC-RT-PCR product from CYDV-RPV infected sap; 5, RT-PCR product of purified CYDV-RPV; 6, RT-PCR product of purified healthy plant preparation; 7, PCR product of healthy plant preparation with CYDV-RPV antiserum using one tube-IC-RT-PCR; 8, IC-RT-PCR product of healthy plant asp with CYDV-RPV antiserum.

تا ۲ ساعت خیساندن در آب، امکان استفاده از این روش در مناطق دورافتاده، مزارع و ایستگاههای قرنطینه، امکان بررسی تعداد بسیار زیادی نمونه بطور همزمان و کافی بودن رقت



شکل ۸- نتایج الکتروفورز محصول RT-PCR مربوط به سروتیپ BYDV-PAV با استفاده از آغازگر دژنره تیره Luteoviridae روی ژل آگاروز ۱٪  
چاهک‌ها بترتیب ۱، مارکر؛ ۲، محصول RT-PCR با آماده خالص شده BYDV-PAV؛ ۳، محصول RT-PCR آر. ان. ای کل گیاه آلوده به BYDV-PAV؛ ۴، محصول RT-PCR آماده خالص شده گیاه سالم؛ ۵، محصول RT-PCR آر. ان. ای کل گیاه سالم؛ ۶، محصول RT-PCR عصاره گیاه آلوده؛ BYDV-PAV.

Fig. 7. Gel electrophoresis pattern of RT-PCR products of BYDV-PAV with degenerate Luteoviridae primers  
Lanes: 1, Marker; 2, RT-PCR product of purified virus; 3, RT-PCR product using total RNA from infected plant; 4, RT-PCR result with purified preparation of healthy plant; 5, RT-PCR using total RNA from healthy plant; 6, RT-PCR product of BYDV- PAV infected plant sap.

پایین آنتی‌بادی متصل به آنزیم تهیه شده ویژه سروتیپ CYDV-RPV و BYDV-PAV (۱:۱۵۰۰) از مزایای این روش می‌باشد (Camara *et al.* 2000 a, b, Huth 1999). در مواردی روش immunoprinting از لحاظ حساسیت با روش IC-PCR قابل مقایسه بوده است (Camara *et al.* 2000 a). با توجه به مزایای بالا در بررسی و تحت نظر گرفتن این ویروس و نیز با توجه به گسترش سراسری این ویروس، استفاده از این روش توصیه می‌گردد. همچنین برای

تشخیص روزمره روش Cocktail-ELISA به دلیل صرفه‌جویی در آنتی‌بادی متصل به آنزیم و وقت و قابلیت اجرا در یک روز نسبت به روش DAS-ELISA برتری دارد.

در مورد تشخیص مولکولی با آزمون RT-PCR با استفاده از آغازگرهای عمومی تیره لوتئوویریده، قطعه‌ای به اندازه 500 bp مربوط به ژن کد کننده پروتئین پوششی مورد نظر بود ولی با ویروس خالص شده BYDV-PAV قطعه‌ای به اندازه 1200 bp وبا ویروس خالص شده CYDV-RPV قطعه‌ای در حدود 400 جفت باز تکثیر شد. با توجه به اینکه قطعه تکثیر شده تنها در گیاه آلوده و ویروس خالص‌سازی شده مشاهده شد و در گیاه سالم و آموده خالص‌سازی شده گیاه سالم مشاهده نگردید، ماهیت قطعه تکثیر شده ویروسی ارزیابی گردید. این نتایج را می‌توان ناشی از چسبیدن آغازگر به جایگاهی غیر از جایگاه مورد انتظار بر روی ژنوم دانست. احتمال وقوع این امر با توجه به دژنره (degenerate) بودن آغازگر، افزایش می‌یابد. اما به طور کلی برای اثبات ماهیت قطعه تکثیر شده بایستی با تعیین ترادف نوکلئوتیدی آن و یا بررسی قطعه تکثیر شده با RFLP و مقایسه آن با نقوش الکتروفورزی الگوی CYDV-RPV و BYDV-PAV اطمینان حاصل کرد.

آغازگرهای اختصاصی BYDV-PAV و CYDV-RPV که برای جدایه‌های آمریکایی (ایلینوی) طراحی شده بودند بخوبی و به صورت کاملاً اختصاصی جدایه شیراز BYDV-PAV و جدایه ایچ CYDV-RPV را با اندازه مورد نظر 700 و 800 جفت باز تکثیر کردند. نتایج واکنش متقابل ویروس خالص BYDV-PAV و آغازگر CYDV-RPV و نیز ویروس خالص CYDV-RPV و آغازگر BYDV-PAV نشان دهنده عملکرد بسیار اختصاصی این آغازگرها است. این آغازگرها تنها با ویروس خالص‌سازی شده بررسی شده بودند (مکاتبات شخصی با W.A. Miller) در حالی که در این تحقیق این آغازگرها به طور گسترده‌ای با روش IC-RT-PCR با بافت مزرعه و گلخانه به کار رفتند و قطعه مورد نظر را تکثیر کردند.

IC-RT-PCR که در واقع تلفیقی از روش سرولوژیکی و مولکولی می‌باشد، روش بسیار کارآمدی در تشخیص و ردیابی لوتئوویروسهای غلات است (Gray et al. 2002). در مقایسه‌ای که بین RT-PCR (با آموده خالص‌سازی شده CYDV-RPV به عنوان قالب) و IC-RT-PCR (عصاره خام گیاه آلوده به عنوان قالب) صورت گرفت نتایج یکسانی به دست

آمد. علی رغم حساسیت فوق العاده زیاد روشهای ردیابی مولکولی، روش ساده RT-PCR با آغازگرهای اختصاصی نتوانست وجود ویروس را در عصاره خام گیاهان آلوده تشخیص دهد. این در حالی بود که تغلیظ عصاره گیاهی با خالص سازی و همچنین تلفیق PCR با ایمونولوژی (IC-RT-PCR) بدون تغلیظ عصاره، ویروس را به خوبی در عصاره گیاهان آلوده ردیابی کردند. لذا به نظر می رسد عدم تشخیص ویروسها در روش ساده RT-PCR به دلیل پائین بودن غلظت قالب (template) یا از دست رفتن میزان قابل توجهی از آن در حین آزمایش باشد. به طور کلی روش TPIA و IC-RT-PCR به خوبی قادر به تشخیص و ردیابی ویروس های کوتولگی زرد جو و غلات حتی در فصل تابستان که غلظت ویروس بشدت کاهش می یابد، می باشند. به نظر می رسد این دو روش می توانند در تشخیص سریع و گسترده این ویروسها در کشور مورد استفاده قرار گیرند.

### منابع

جهت ملاحظه به صفحات (51-53) متن انگلیسی مراجعه شود.

---

نشانی نگارندگان: مینا راستگو، بهنام خطابی و کرامت اله ایزدپناه بخش گیاهپزشکی، دانشکده کشاورزی، دانشگاه شیراز